

차수 축소 모델을 이용한 형상 최적설계를 위한 형상 및 격자 변형 방법

한국전산유체공학회 2023 춘계학술대회

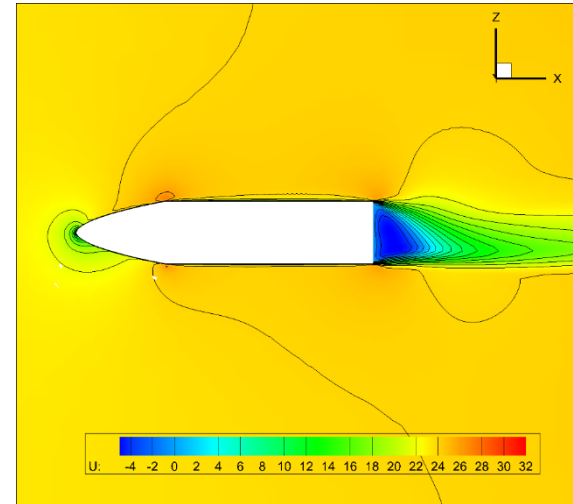
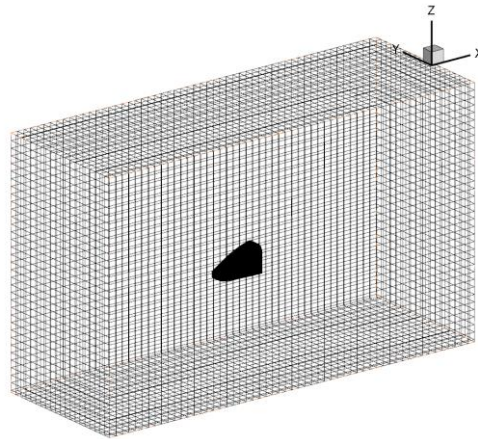
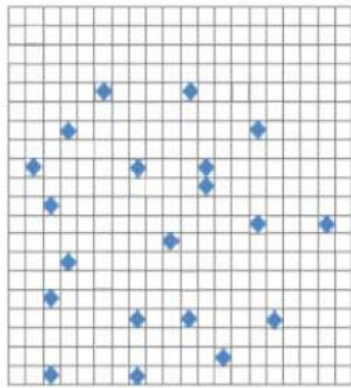
2023.5.11.

(주) 넥스트폼 이웅현



개요

- 형상최적설계 시 반복적인 격자 생성 및 유동 해석의 부담



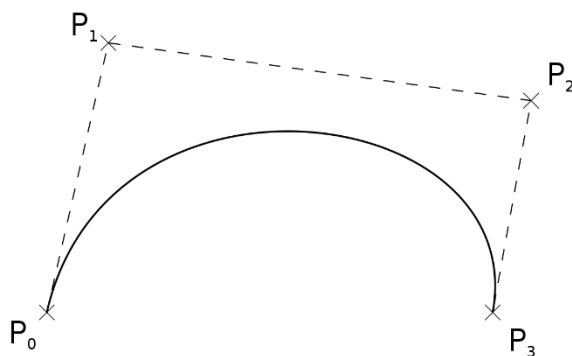
- 격자/해석 단계에서의 계산 부하 및 소요 시간을 저감하기 위한 방법 제시
 - 매개변수를 통한 3차원 형상 정의
 - RBF / IDW 기반의 격자 변형 유틸리티 (deformMesh)
 - 적합직교분해 / 인공신경망 기반의 차수축소모델

매개변수를 통한 3차원 형상 정의

- 베지에 (Bezier) 곡선

- n개의 control point 및 $0 \leq t \leq 1$ 로 정의

$$\mathbf{B}(t) = \sum_{i=0}^n \binom{n}{i} (1-t)^{n-i} t^i \mathbf{P}_i$$

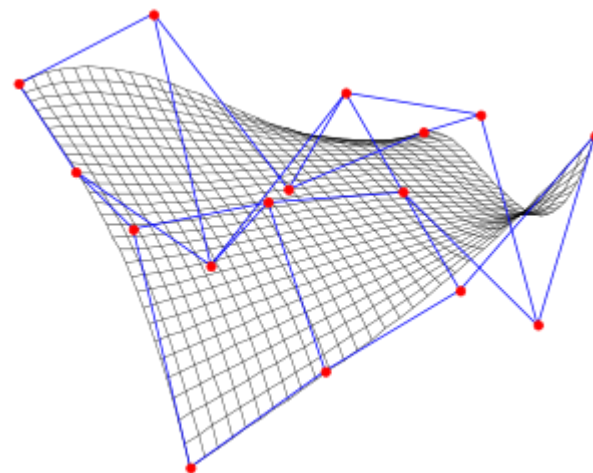


- 베지에 곡면

- n * m 개의 control point 및 $0 \leq u, v \leq 1$ 로 정의

$$\mathbf{p}(u, v) = \sum_{i=0}^n \sum_{j=0}^m B_i^n(u) B_j^m(v) \mathbf{k}_{i,j}$$

$$B_i^n(u) = \frac{n!}{i!(n-i)!} u^i (1-u)^{n-i}$$

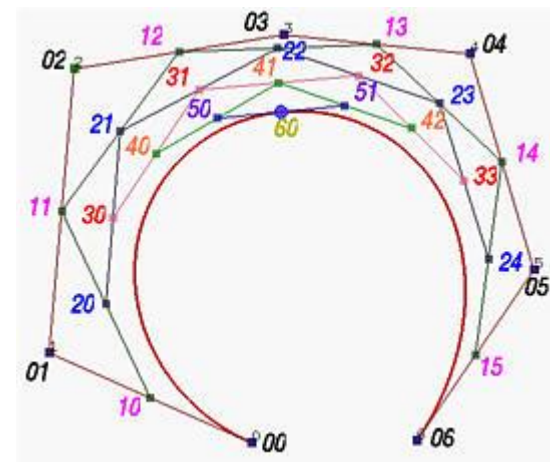
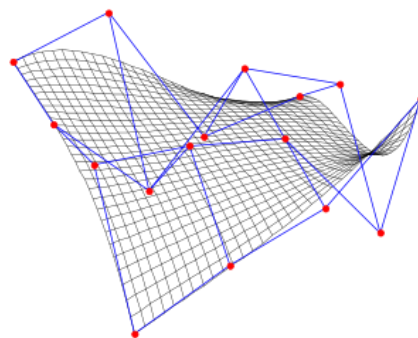
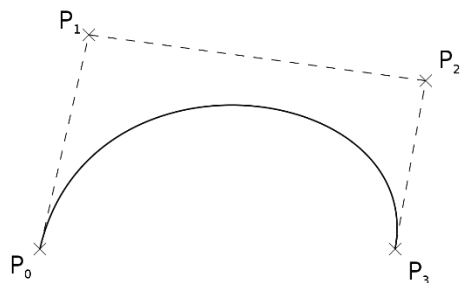


- 일반화 시 B-spline, NURBS 등 사용 가능

매개변수를 통한 3차원 형상 정의

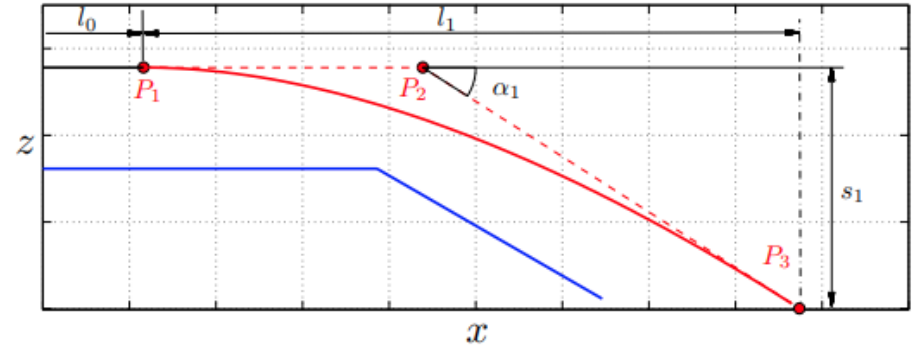
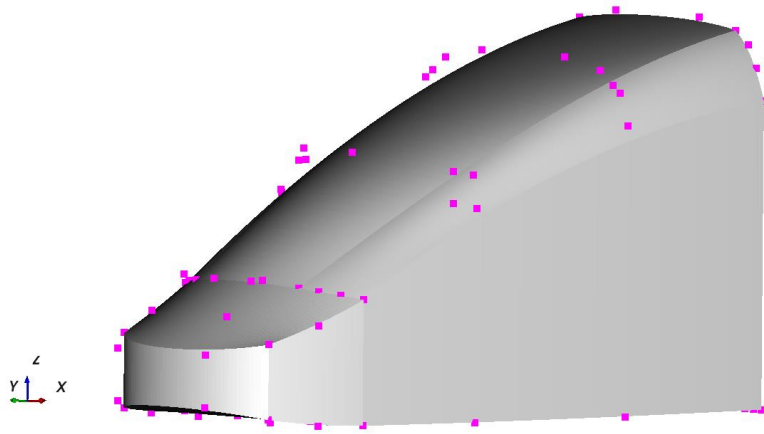
■ 베지에 곡선/곡면 특성

- 주어진 베지에 곡선을 boundary로 하는 베지에 곡면 정의 가능
- 곡면상의 특정 위치 (u1, v1) 를 매개변수로 계산 가능
- 접선 조건 지정 가능
 - 각 끝단으로부터 첫 번째 control point 를 잇는 선분에 접함
- 베지에 곡면의 slice 또한 베지에 곡선으로 계산 가능
- 동일 차수의 곡선/곡면 조합으로 분할 가능
 - 한 곡면에 여러 곡면이 인접하는 경우의 처리 용이
- 상위 차수의 곡선/곡면으로 변환 가능
 - Boundary 베지에 곡선의 차수가 일치하지 않아도 곡면 구성 가능



매개변수를 통한 3차원 형상 정의

- 베지에 곡선/곡면 사용 예시
 - 철도차량 전두부 형상 매개변수화
 - Control point 80개
 - 대칭 고려 시 40개, 좌표 매개변수 120개
 - 기하학적 구속조건을 통한 매개변수 개수 저감 시 25~40개 수준

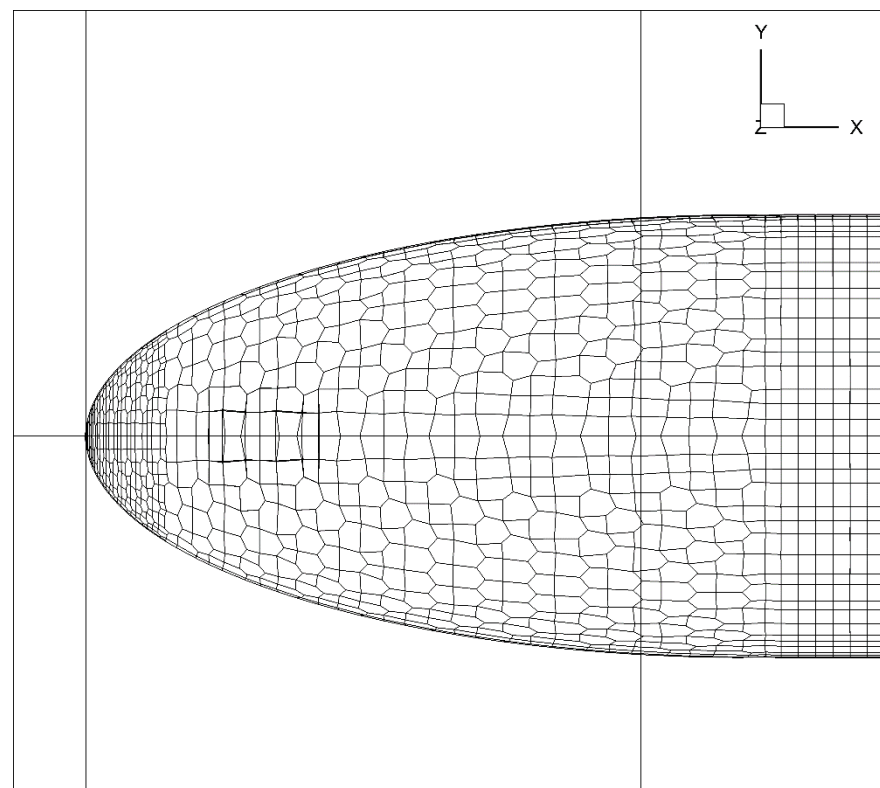
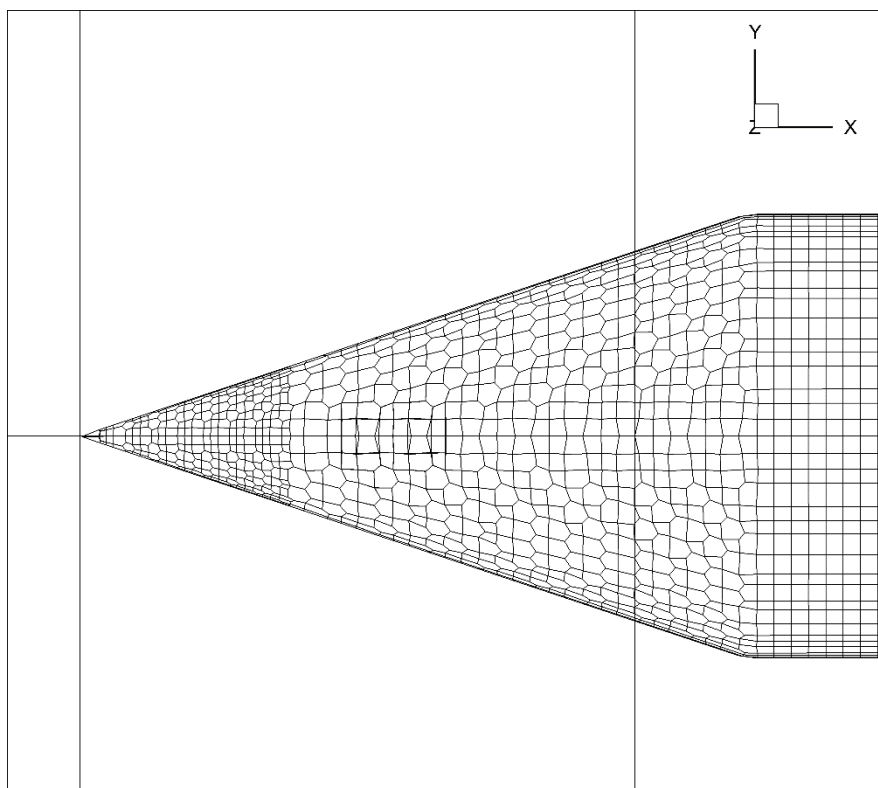
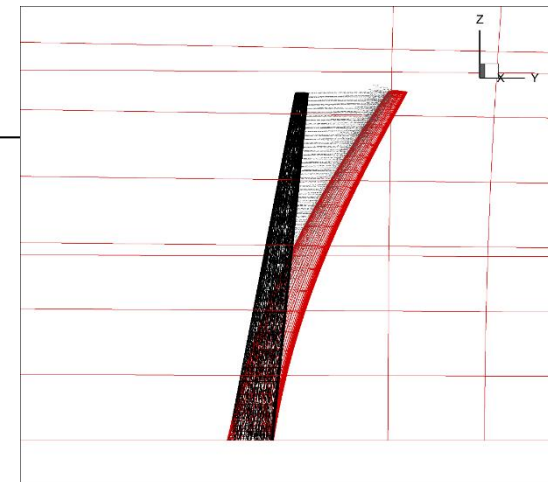


J. Munoz, Aerodynamic Optimization of the Nose Shape of a High-speed Train, 2014

격자 변형

- deformMesh

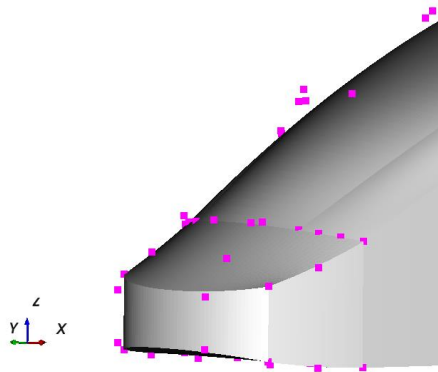
- OpenFOAM Utility (자체 개발)
- control point 좌표 및 변위 벡터를 입력하여 변형
- RBF, IDW, RBFIDW 방식 지원
- 격자 품질 유지



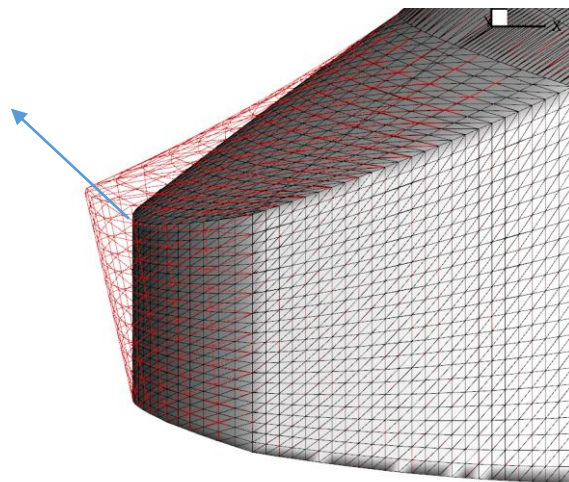
격자 변형

■ deformMesh

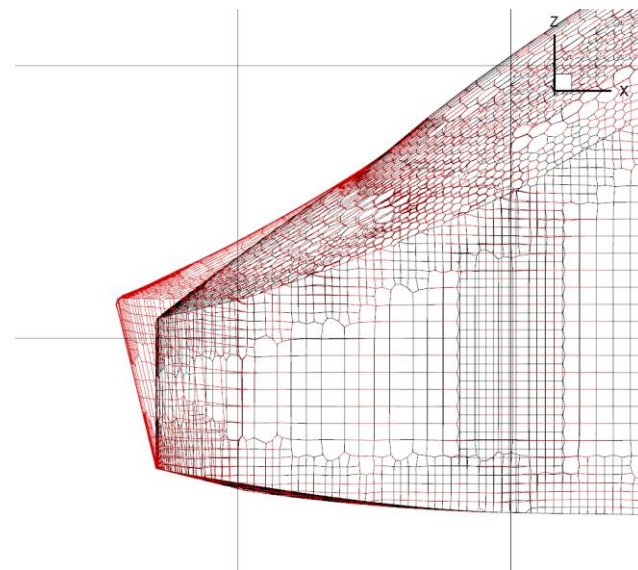
- 형상 매개변수 변동에 따른 베지에 곡면 변화 추적
- 변동 전후의 베지에 곡면 상에서 동일 매개변수값 (u,v) 에 해당하는 점들의 변위로부터 격자 변형에 필요한 input 계산
- 최초 생성한 격자계를 변형하여 반복 해석에 사용 가능
- 격자의 topology 및 index가 유지되므로 적합직교분해 (POD) 기반 차수 축소모델 구성 가능



매개변수화된 형상



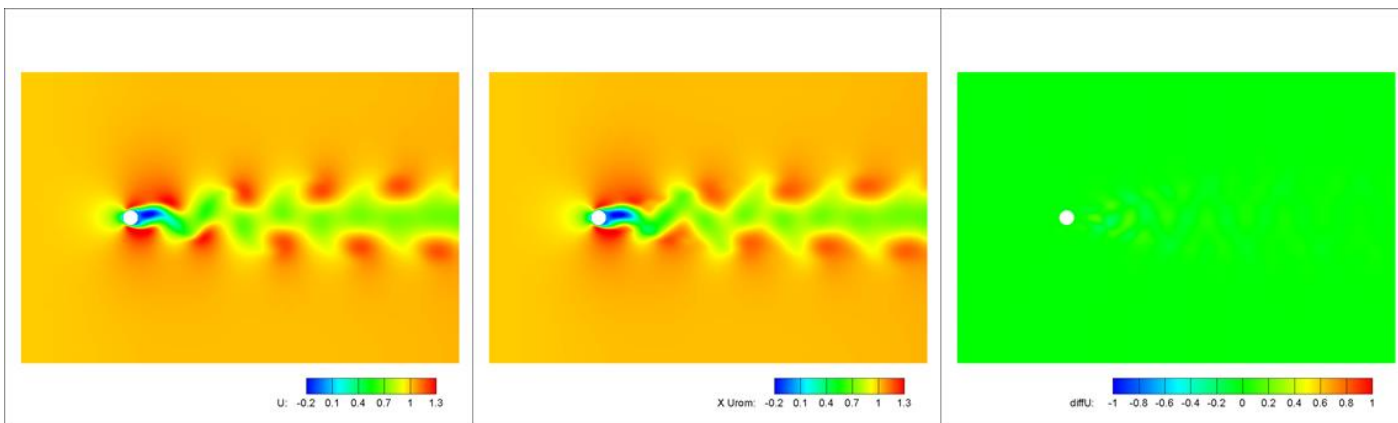
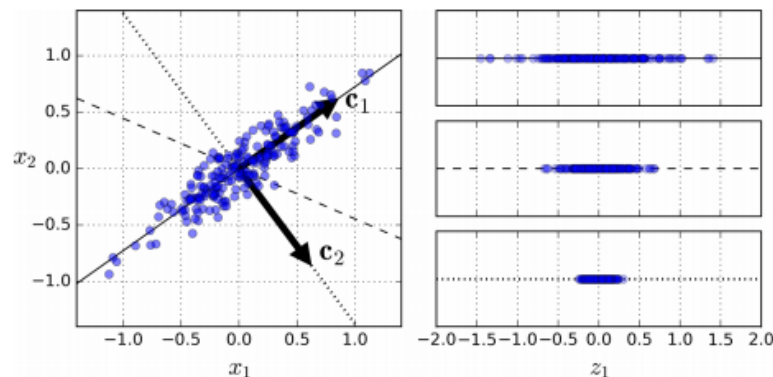
매개변수 변동에 따른
베지에 곡면 형상 변화



실제 해석 격자 변형 결과

적합직교분해 (POD)

- 주성분 분석 (PCA) 기법 기반
 - 특이치 분해 (SVD)
 - 이미지 압축 등 광범위한 분야에 사용
 - CFD 해석 결과에 적용 가능
 - (해석격자 topology 및 index가 일치해야 함)

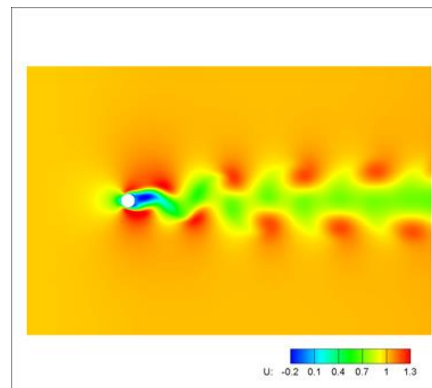


적합직교분해 (POD)

■ 절차

■ (1) 해석 결과 (snapshot) 확보

```
Documents/code/211215_pod_test$ ll  
./  
./  
0 -> ./211214_stl_sonicfoam/motorBike_5/500/  
10 -> ./211214_stl_sonicfoam/motorBike_5/500/  
5 -> ./211214_stl_sonicfoam/motorBike_5/500/  
8 -> ./211214_stl_sonicfoam/motorBike_8/500/  
constant/  
system/
```



■ 입력 parameter 조건 별 해석 결과

- AOA, BETA, Mach #, geometric parameter 등 종류 무관
- 많을수록 정확도 ↑

- AccelerateCFD 구동을 위해 단일 OpenFOAM 케이스 폴더로 취합
- N개 격자 * M개 시점 해석 결과가 취합된 N×M 행렬 Y

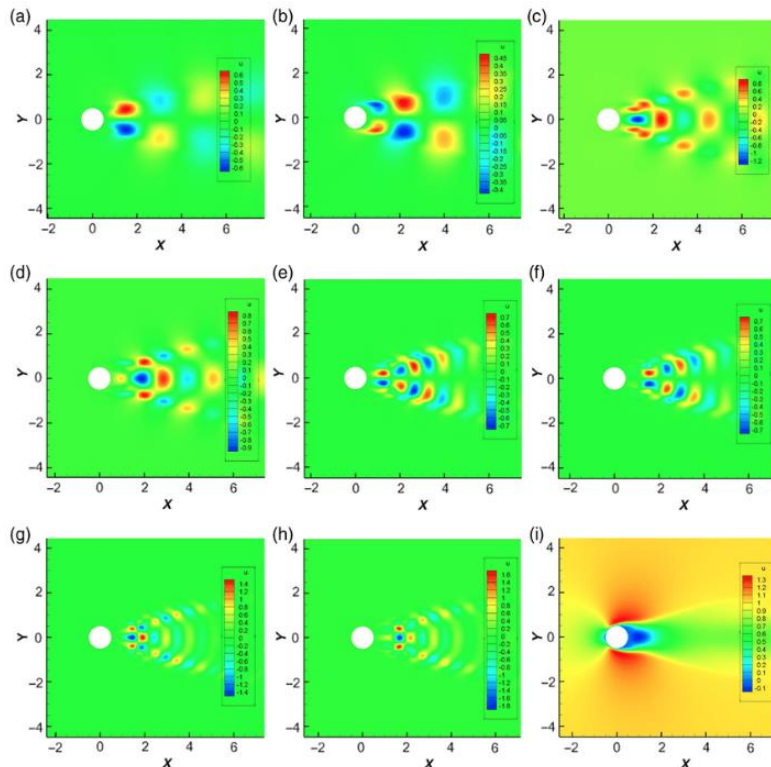
$$\vec{y_j} = \begin{bmatrix} y_{1j} \\ y_{2j} \\ \dots \\ y_{Nj} \end{bmatrix} \quad Y = \begin{bmatrix} \vec{y_1} & \vec{y_2} & \dots & \vec{y_M} \end{bmatrix}$$

적합직교분해 (POD)

■ 절차

■ (2) 모드 (basis) 추출

- 해석 결과의 기저 벡터
- 선형결합으로 유동장 재현



POD modes of the oscillating cylinder: (a) POD mode #1, (b) POD mode #2, (c) POD mode #3, (d) POD mode #4, (e) POD mode #5, (f) POD mode #6, (g) POD mode #7, (h) POD mode #8 and (i) average field.

02_SVD

- 공분산행렬(Covariance Matrix) 생성
- Eigenvalue & Eigenvectors 추출
 - ✓ Left Eigenvector = POD mode (Basis function)

$$R = X^T X$$

$$X = \begin{bmatrix} x_1(t_1) & \cdots & x_n(t_1) \\ \vdots & \ddots & \vdots \\ x_1(t_m) & \cdots & x_n(t_m) \end{bmatrix} \in R^{m \times n}$$

$$R\beta_m = \lambda_m\beta_m$$

$$Y = U\Sigma V^T$$

$$R = Y^T Y \quad R\vec{v}_i = \sigma_i^2 \vec{v}_i, \quad \vec{u}_i = \frac{Y\vec{v}_i}{\sigma_i}$$

```

200
201 forAll(timeDirs, timei)
202 {
203     n = 0;
204     forAll(timeDirs, timej)
205     {
206         Cmn(m, n) = 0.0;
207         // applying symmetry
208         if (n < m)
209         {
210             Cmn(m, n) = Cmn(n, m);
211             n++;
212             continue;
213         }
214
215         volScalarField U1dotU2(generateCustomField(runTime, mesh, "U1dotU2"),
216                                 (vels[timei]&vels[timej])*cellVolume);
217
218         Cmn(m, n) = Cmn(m, n) + gSum(U1dotU2);
219         n++;
220     }
221     m++;
222 }
223
224 // Normalization of correlation matrix by dividing with total number of
225 Cmn = Cmn/nDim;
226
227 // Self Adjoint Eigen Solver is used here to solve for eigenvalue problem
228 Info<< "Solving eigenvalue problem" << nl;
229
230 Eigen::SelfAdjointEigenSolver<Eigen::MatrixXd> es(Cmn);
231

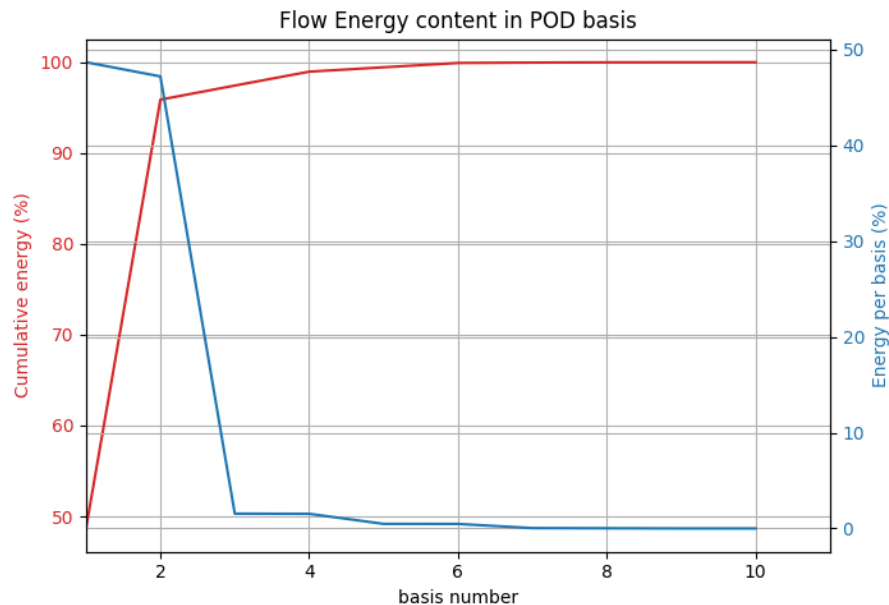
```

적합직교분해 (POD)

■ 절차

■ (2) 모드 (basis) 추출

- 해석 결과의 기저 벡터
- 선형결합으로 유동장 재현
- 5~10개 모드에 99.9% 에너지 분포
- 전체 해석 결과 요약/예측 가능



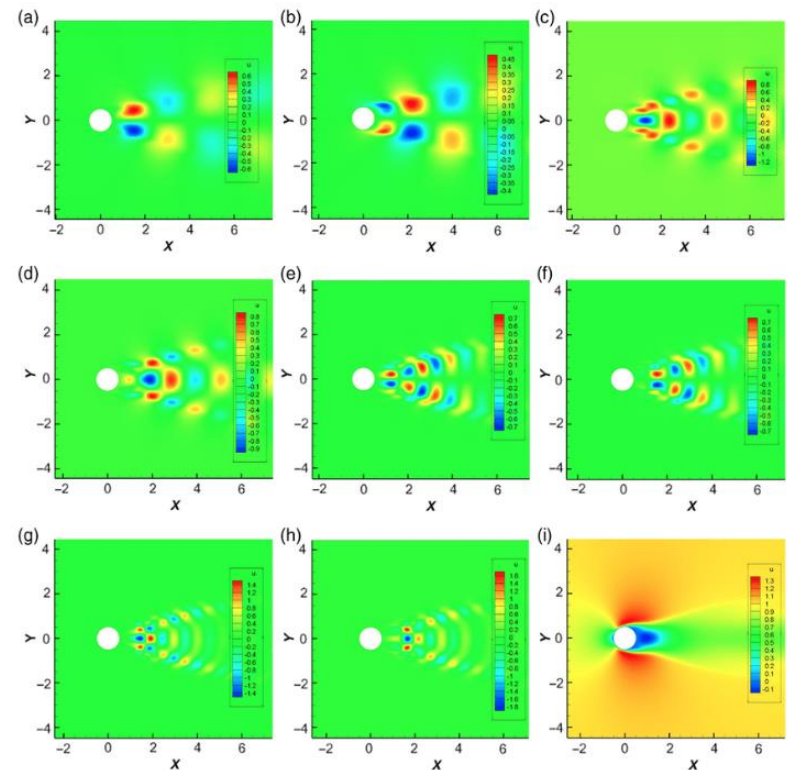
02_SVD

- 공분산행렬(Covariance Matrix) 생성
- Eigenvalue & Eigenvectors 추출
 - ✓ Left Eigenvector = POD mode (Basis function)

$$R = X^T X$$

$$X = \begin{bmatrix} x_1(t_1) & \cdots & x_n(t_1) \\ \vdots & \ddots & \vdots \\ x_1(t_m) & \cdots & x_n(t_m) \end{bmatrix} \in R^{m \times n}$$

$$R\beta_m = \lambda_m \beta_m$$



POD modes of the oscillating cylinder: (a) POD mode #1, (b) POD mode #2, (c) POD mode #3, (d) POD mode #4, (e) POD mode #5, (f) POD mode #6, (g) POD mode #7, (h) POD mode #8 and (i) average field.

적합직교분해 (POD)

■ 절차

- (3) expansion coefficient 계산
 - 각 snapshot에 포함된 basis의 비중

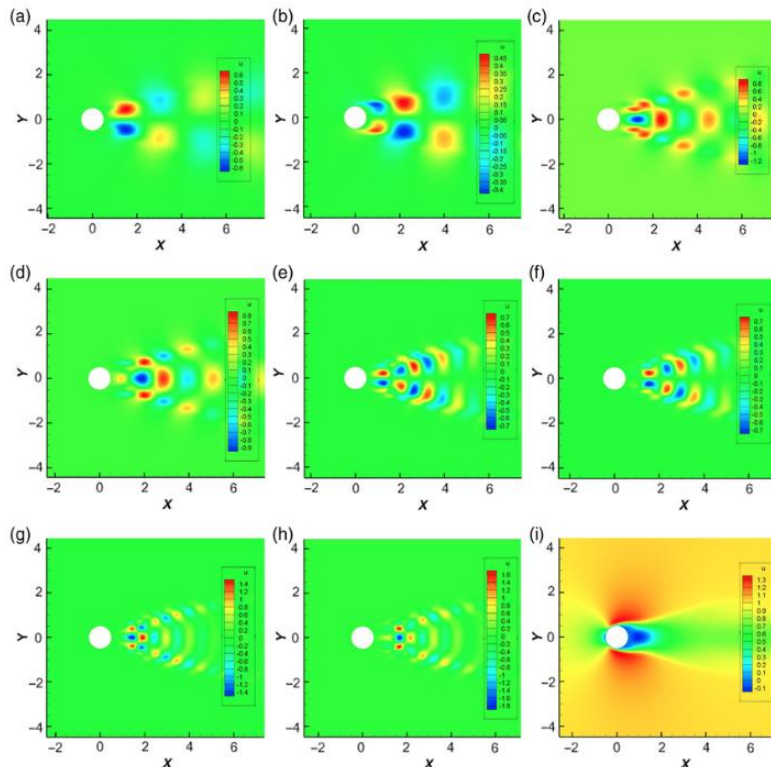
03_POD

- Calculate the basis function(ϕ_m)
- Normalize basis function($\bar{\phi}_m$)
- Calculate POD's expansion coefficient(a_m)

$$\phi_m = X^T \cdot \beta_m$$

$$\bar{\phi}_m = \phi_m / \sqrt{\phi^2}$$

$$a_m = X^T \cdot \bar{\phi}_m$$



POD modes of the oscillating cylinder: (a) POD mode #1, (b) POD mode #2, (c) POD mode #3, (d) POD mode #4, (e) POD mode #5, (f) POD mode #6, (g) POD mode #7, (h) POD mode #8 and (i) average field.

```

271 for (int i=0; i<nDim; i++) {
272     std::string uGradSigName;
273     uGradSigName = "uGradSigName_" + std::to_string(i);
274     volVectorField uGradSig(generateCustomField(runTime, mesh, uGradSigName),
275                             UMean&gradSigs[i]);
276
277     uGradSigs.push_back(uGradSig);
278
279     std::string sigGradUName;
280     sigGradUName = "sigGradUName_" + std::to_string(i);
281     volVectorField sigGradU(generateCustomField(runTime, mesh, sigGradUName),
282                             sigs[i]&gradU);
283     sigGradUs.push_back(sigGradU);
284 }
285
286 for (int i=0; i<nDim; i++) {
287     for (int j=0; j<nDim; j++) {
288         std::string sigGradSigName;
289         sigGradSigName = "sigGradSigName_" + std::to_string(i+nDim*j);
290         volVectorField sigGradSig(generateCustomField(runTime, mesh, sigGradSigName),
291                                   sigs[i]&gradSigs[j]);
292         sigGradSigs[i+nDim*j] = sigGradSig;
293     }
294 }
295
296 std::vector<double> constant(nDim, 0.0);
297 std::vector<std::vector<double>> linear(nDim, std::vector<double>(nDim, 0.0));
298 std::vector<std::vector<std::vector<double>>> quadratic(nDim, std::vector<std::vector<double>>(nDim, std::vec
299
300 // this loop calculates the Galerkin System matrices Q L C for the ROM equation.
301 // constant term, linear term, and quadratic term
302 for (int k=0; k<nDim; k++) {
303     constant[k] = -1*innerProductPOD(sigs[k], uGradU, cellVolume) + (nu+nu_tilda)*innerProductPOD(sigs[k], laplUMean, cellVolume);
304     for (int m=0; m<nDim; m++) {
305         linear[k][m] = -1*innerProductPOD(sigs[k], uGradSigs[m], cellVolume)
306             - innerProductPOD(sigs[k], sigGradUs[m], cellVolume) + (nu+nu_tilda)*innerProductPOD(sigs[k], laplSigs[m], cellVolume);
307         for (int n=0; n<nDim; n++) {
308             quadratic[k][m][n] = -1*innerProductPOD(sigs[k], sigGradSigs[m+nDim*n], cellVolume);
309         }
310     }
311 }
    
```

적합직교분해 (POD)

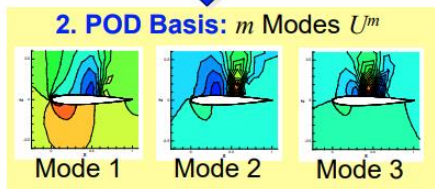
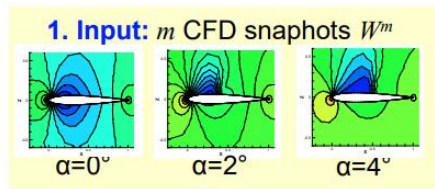
■ 절차

- (4) expansion coefficient 보간
 - 입력 매개변수 (AOA, etc.)
 - POD's expansion coefficient
 - Snapshot으로부터 보간 / 대체모델 생성
 - Kriging, 인공신경망

$$\vec{y}_j \approx \sum_{i=1}^d a_{ij} \vec{w}_i$$

04_ Interpolation Coefficient

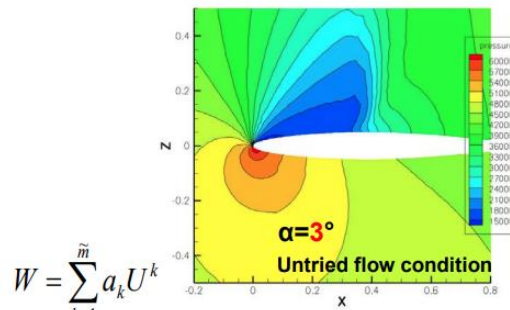
- POD's expansion coefficient(a_m)을 Design space의 변수에 따라 보간 또는 회귀모델 생성
- Linear interpolation using SciPy module (1D)
- 또는 RBF 모델 사용(2D, Isight 사용)



RIC>0.9999

3. Order Reduction
Select \tilde{m} POD components with largest information content

5. Output: approximated flow field



$$\min_{a=(a_1, \dots, a_{\tilde{m}})} \|\text{Res}(W(a))\|^2$$

4. Interpol./Optimization Step
Determine POD-ROM coefficients a_k such that defect of POD solution $W(a)$ to governing equations is minimized

```

202 int writeSteps = 0;
203
204 if(writeFreq == 0){
205     writeSteps = nSteps/numDirs;
206 } else{
207     writeSteps = writeFreq;
208
209 std::ofstream afiles;
210 afiles.open("avals.csv");
211
212 for (int t=0; t<nSteps+1; t++){
213     cout << "t = " << timeElapsed << endl; // Case progress info in terminal
214     for (int i=0; i<nDim; i++) {
215         double da = constant[i];
216         for (int j=0; j<nDim; j++) {
217             da += linear[i+j*nDim]*prevAvals[j];
218             for (int k=0; k<nDim; k++) {
219                 da += quadratic[i+j*nDim+k*nDim*nDim]*prevAvals[k]*prevAvals[j];
220             }
221         }
222         avals[i] = prevAvals[i] + da*dt;
223     }
224
225     for (int i=0; i<nDim; i++){
226         prevAvals[i] = avals[i]; // updating previous avals
227         avalues[t][i] = avals[i]; // storing a values for in 2D vector for lat
228     }
229
230     if(t%writeSteps == 0){
231         double tcol = startTime + dt*t;
232         afiles << tcol << ",";
233         for (int j=0; j<nDim; j++){
234             afiles << std::fixed << std::setprecision(16) << avalues[t][j] << ",";
235         }
236         afiles << endl << std::flush;
237     }
238
239     timeElapsed += dt;
240 }
241 afiles.close();
    
```

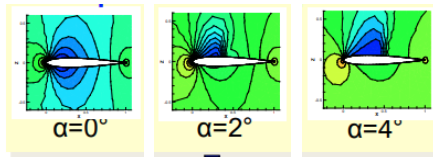

적합직교분해 (POD)

■ 절차

■ (4) expansion coefficient 보간

- 입력 매개변수 (AOA, etc.)
- POD's expansion coefficient
- Snapshot으로부터 보간 / 대체모델 생성
- Kriging, 인공신경망

Snapshot
(Known)



$$U(0) = a1(0) \sigma1 + a2(0) \sigma2 + a3(0) \sigma3 \quad \text{const.}$$

$$U(2) = a1(2) \sigma1 + a2(2) \sigma2 + a3(2) \sigma3$$

$$U(4) = a1(4) \sigma1 + a2(4) \sigma2 + a3(4) \sigma3$$

$$U(3) = a1(3) \sigma1 + a2(3) \sigma2 + a3(3) \sigma3$$

$$\vec{y}_j \approx \sum_{i=1}^d a_{ij} \vec{w}_i$$

04_ Interpolation
Coefficient

- POD's expansion coefficient(a_m)을 Design space의 변수에 따라 보간 또는 회귀모델 생성
- Linear interpolation using SciPy module (1D)
- 또는 RBF 모델 사용(2D, Isight 사용)



적합직교분해 (POD)

■ 절차

■ (5) 유동장 재생성

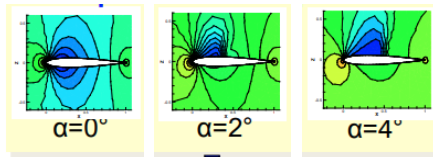
- Basis × Expansion coefficient

05_Reconstruction

- 보간/회귀모델로 생성된 POD's expansion coefficient과 basis function을 이용하여 Flow field를 재생성

$$X^{new} = a_m \cdot \bar{\phi}_m$$

Snapshot
(Known)

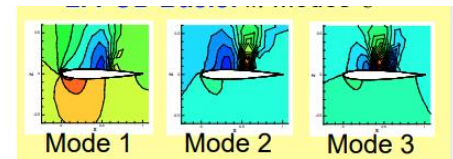
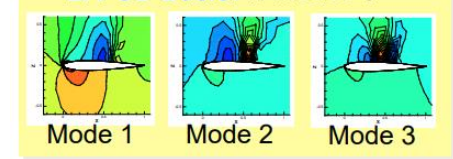
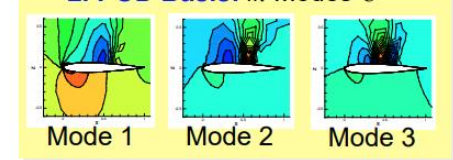
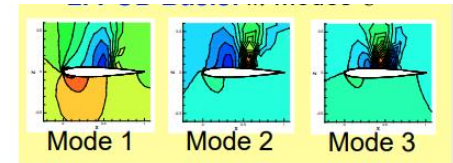


$$U(0) = a1(0) \sigma1 + a2(0) \sigma2 + a3(0) \sigma3 \quad \text{const.}$$

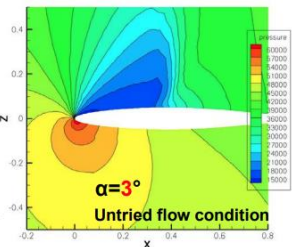
$$U(2) = a1(2) \sigma1 + a2(2) \sigma2 + a3(2) \sigma3$$

$$U(4) = a1(4) \sigma1 + a2(4) \sigma2 + a3(4) \sigma3$$

$$U(3) = a1(3) \sigma1 + a2(3) \sigma2 + a3(3) \sigma3$$



Prediction

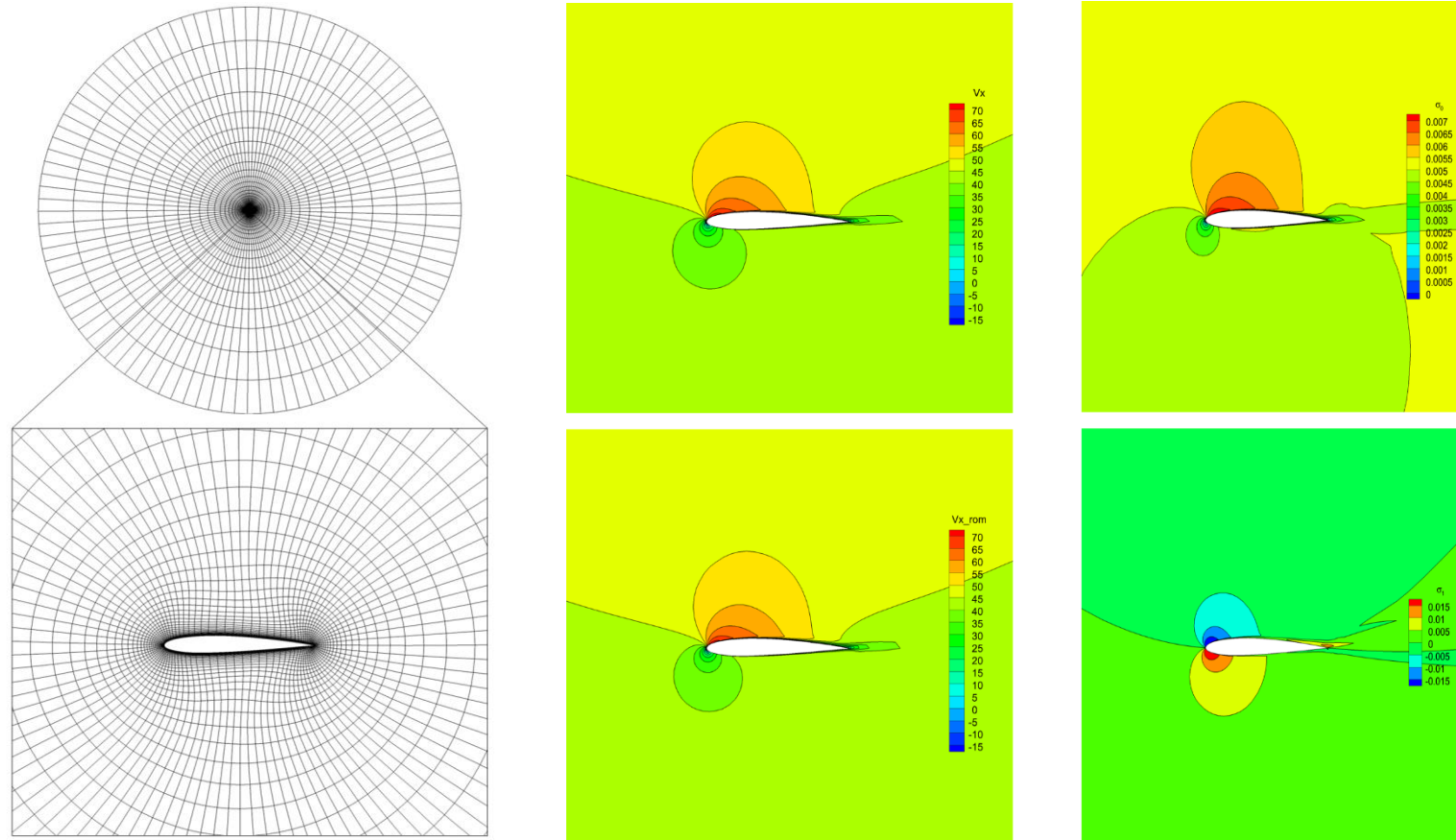


POD+ANN 차수 축소모델 검증

■ 정확도 검증

■ NACA2412 익형 아음속 정상 유동 해석

- 입력 변수 : 자유류 받음각, 속도
- 5개 스냅샷 데이터로부터 신규 조건에 대한 해석 결과 추정
- 해석 격자, CFD / POD+ANN 비교, POD 모드 (2개 모드에 에너지 99.999% 분포)



POD+ANN 차수축소모델 검증

■ 정확도 검증

■ NACA2412 익형 아음속 정상 유동 해석

- POD 수행 과정 포함 시 소요 시간 5% 이내
- 기 존재하는 POD ROM으로부터 보간만 수행할 경우 전체 유동장 즉시 획득 가능

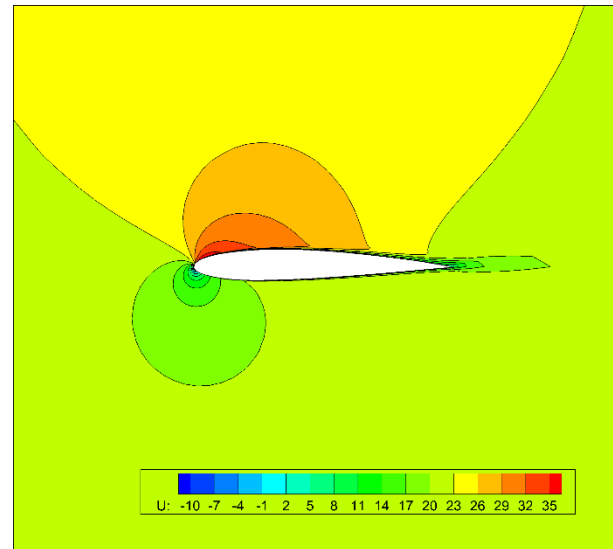
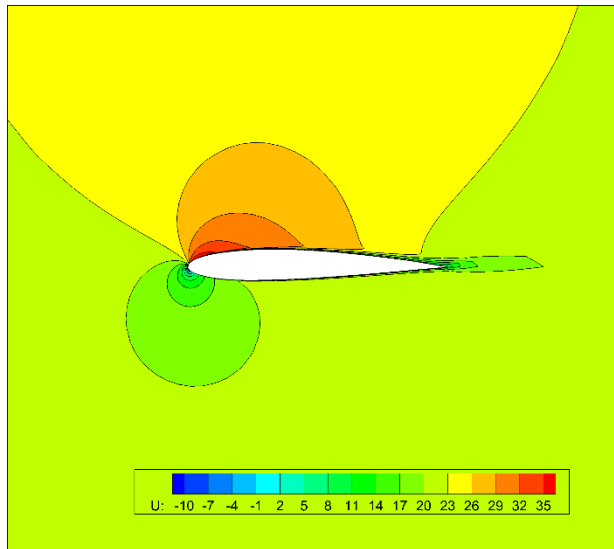
Case No.	Method	V_{∞} (m/s)	Angle of attack (deg)	Expansion coefficient		Calculati on Time (sec)	Error (%)
1	CFD	30	5	5864.55	-20.0794	5.60	-
2	CFD	40	0	7792.01	654.545		
3	CFD	40	4	7818.70	109.646		
4	CFD	40	10	7787.36	-707.902		
5	CFD	50	5	9774.26	-33.4612		
6	POD + ANN	45	7	8791.20	-302.488	0.27	4.98

- 적은 개수 (5개) 의 스냅샷으로 인한 큰 오차 (4.98%) => 스냅샷 추가

POD+ANN 차수축소모델 검증

■ 정확도 검증

- NACA2412 익형 아음속 정상 유동 해석 – 스냅샷 개수 추가
 - 스냅샷 데이터 30개
 - 자유류 속도 30, 34, 38, 42, 46, 50 m/s
 - 받음각 0.0, 2.5, 5.0, 7.5, 10.0 도
 - CFD (좌), POD ROM (우)
 - 개선된 오차 0.148%
 - 적절한 스냅샷 개수 선정 필요
 - 강형민, “적합직교분해 기법에서의 효율적인 스냅샷 선정을 위한 고유값 분석”, 2017

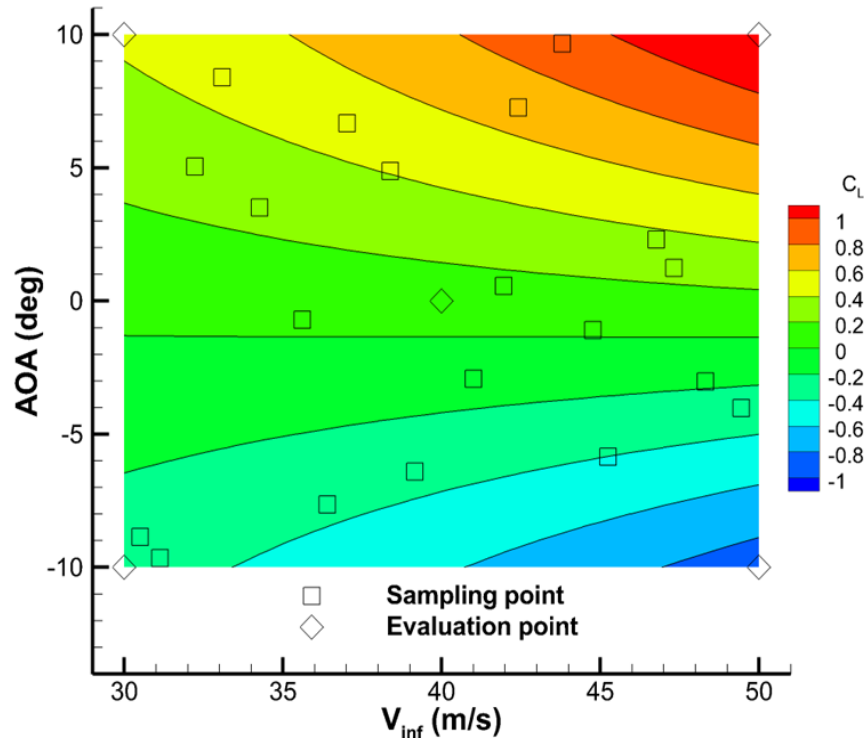


POD+ANN 차수축소모델 검증

■ 데이터베이스 생성 성능 검증

■ NACA2412 익형 아음속 정상 유동 해석

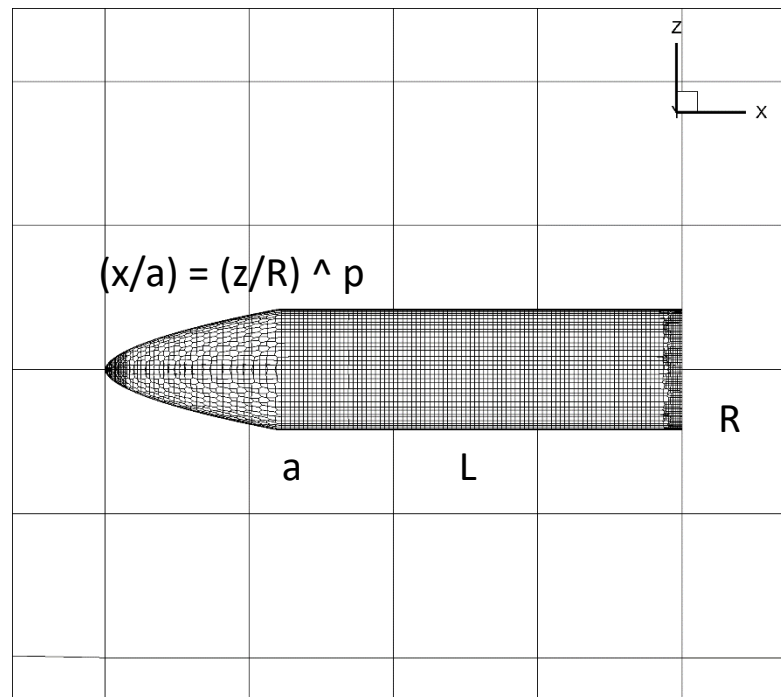
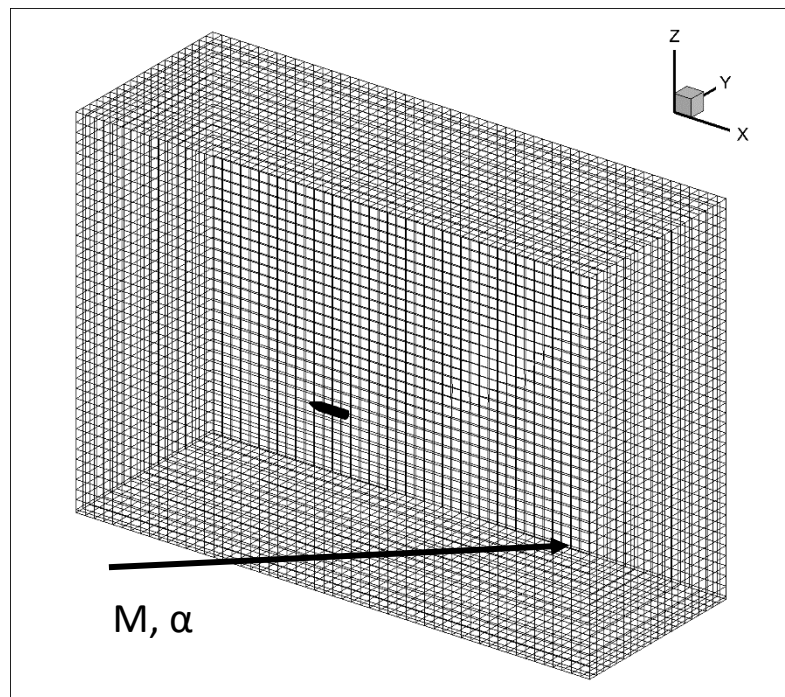
- 자유류 속도 30m/s ~ 50m/s
- 받음각 $-10^{\circ} \sim 10^{\circ}$
- 20개의 입력 매개 변수 표본 사용
- 5개 해석 결과 누적 시 POD 수행, 이후 해석 결과 초기 조건 추정
- 소요 시간 : 1개 케이스 해석 소요 시간의 6.55배



Case No.	V_{∞} (m/s)	AOA (deg)	Lift coefficient		Error (%)
			CFD	ANN	
1	30	-10	-0.321	-0.321	0.005
2	30	10	0.433	0.433	0.008
3	40	0	0.0965	0.0965	0.022
4	50	-10	-0.900	-0.908	0.878
5	50	10	1.220	1.211	0.790

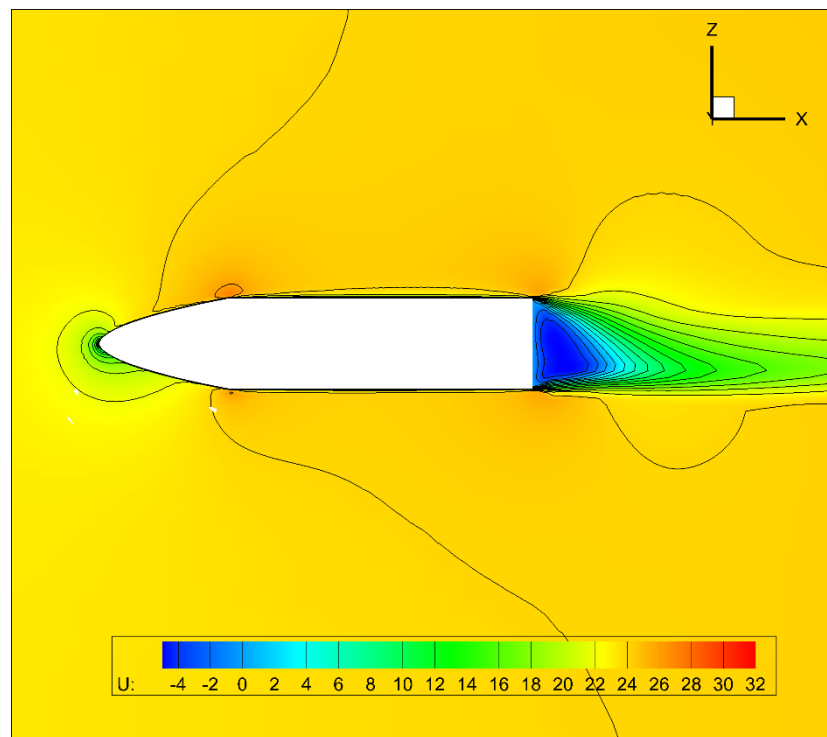
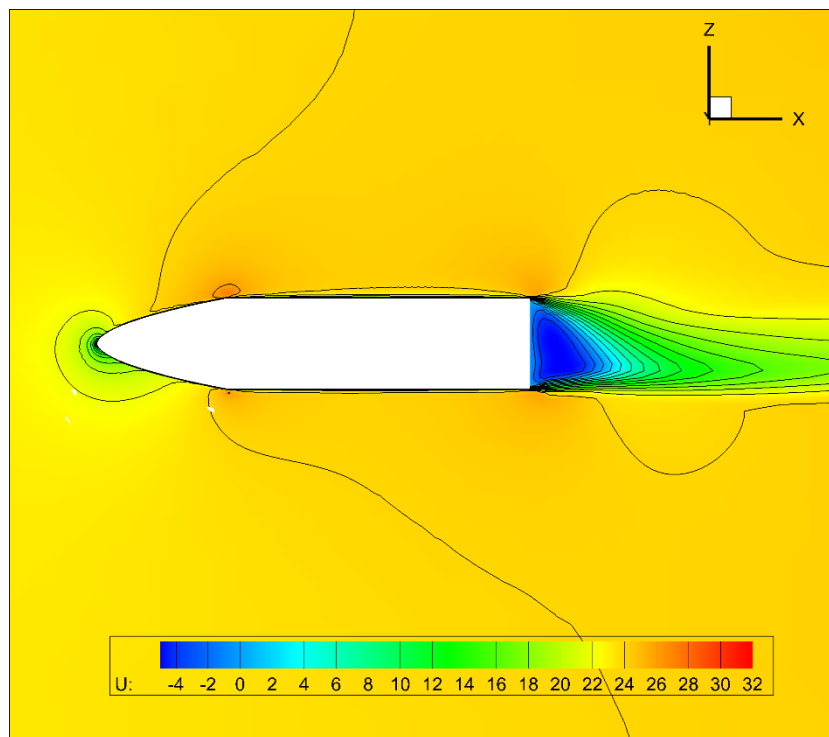
형상변형 / 차수축소모델 적용 예시

- 매개변수화된 3차원 비행체 외부 공력 해석
 - 전두부 형상 곡선 차수 (p), 전두부 길이 (a), 전체 길이 (L), 반지름 (R)
 - 자유류 받음각 (α), 마하수 (M)
 - 총 6개 입력 매개 변수, 격자 개수 약 48만



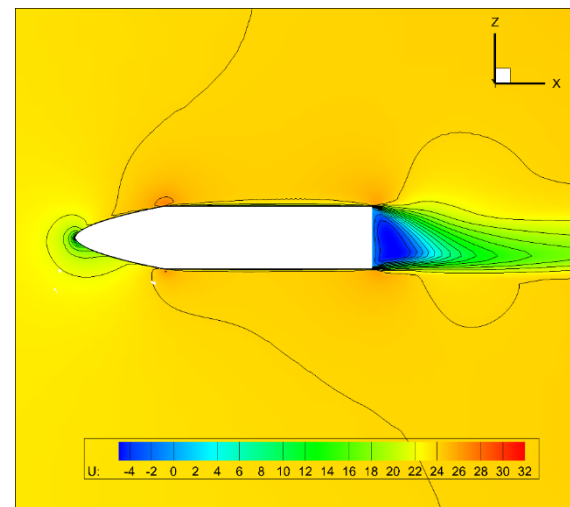
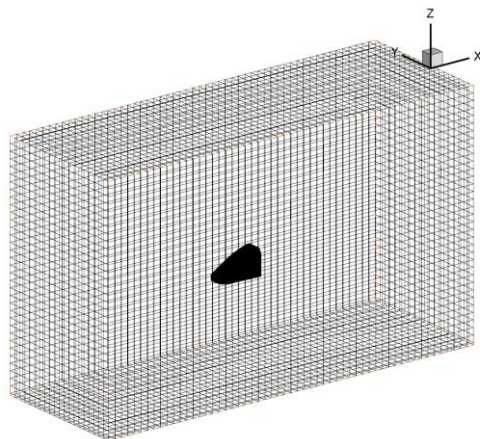
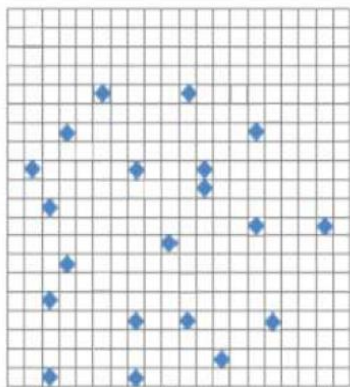
형상변형 / 차수축소모델 적용 예시

- 매개변수화된 3차원 비행체 외부 공력 해석
 - 135개 스냅샷 데이터를 CFD 해석으로 획득
 - POD ROM 구성 (1분 소요) + 유동장 재구성 (1초 미만 소요)
 - 신규 형상/유동 조건에 대한 해석 결과를 예측하여 비교
 - CFD 해석 (30분 소요) 대비 소요 시간 대폭 저감, 오차 1.09%
 - 형상최적설계 문제에 응용 가능한 기법 제시



■ 연구 성과

- 형상 매개변수화, 격자 변형, 차수축소모델 구성을 통한 형상최적설계 방법 제시
- 정확도 및 성능 검증 완료
- 반복적인 격자생성 / 유동해석의 부하를 저감할 수 있음을 확인
- 실제 형상최적설계 문제에 응용 및 지속적 보완 예정



감사합니다